

نانو ماشین باکتریایی: اینجکتیزوم تیپ III

اسماعیل صابری^۱، تاصر صفائی^{۱*}، کبری مسلم خاتی^۲

^۱ دانشجوی دکتری و نانویار گروه بیماری‌شناسی گیاهی دانشکده کشاورزی، دانشگاه تربیت مدرس، تهران
^۲ عضو هیئت علمی موسسه تحقیقات تبت و گواهی بذر و نهال

چکیده

بسیاری از باکتری‌های گرم متفاوت ارتباط بین سلسله‌ای (پروکاریوت-پروکاریوت) را با فرستادن پروتئین‌های خود بطور مستقیم به سیتوپلاسم پوکاریوتی می‌بینند. این طریق یک مجموعه پیچیده ترشحی به نام سیستم ترشحی تیپ III (type III secretion system) یا اینجکتیزوم (type III secretion injectisome) است که به متابه T3SS می‌باشد. این سیستم در پرازایری بسیاری از باکتری‌های گرم متفاوت نقش اساسی دارد و از سرنگی برای تزریق پروتئین‌ها به کار گرفته می‌شوند. این سیستم در پرازایری بسیاری از باکتری‌های گرم متفاوت مولکولی است که به متابه آن برای انتقال افکتورهای پروتئینی برای برهم زدن فرآیندهای سلولی می‌بینند. خود استفاده می‌کند مورفولوژی کلی دو مجموعه فرا مولکولی (تازک و اینجکتیزوم) بسیار مشابه است و هر کدام شامل ساختارهای حلقه مانند در غشاء داخلی و بیرونی باکتریایی و یک AT-Pase مرتبط با غشاء و یک ساختار مارپیچی بیرون سلولی می‌باشد. اگرچه به جای قلاب و رشتہ مارپیچی تازک، اینجکتیزوم دارای یک سوزن (needle) مستقیم و سفت تو خالی یا یک رشتہ (filament) یا یک پیلوس (pilus) بسته به نوع اینجکتیزوم در انتهای ساختار آن می‌باشد. بیش از ۲۰ جزء پروتئینی برای عملکرد متناسب اینجکتیزوم مورد نیاز است. بیش از نیمی از این اجزاء محافظت شده هستند و به لحاظ توالی و عملکرد همolog همانی اجزاء تازکی می‌باشند. این مقاله مژوهی است بر یافته‌ها نجات شده در خصوص ساختار اینجکتیزوم، بخصوص ساختار و عملکرد مولکولی اجزاء آن می‌پردازد.

کلمات کلیدی:

سیستم تیپ ترشحی III نانوماشین باکتریایی - اینجکتیزوم - T3SS

مقدمه

پکار می‌روند (۲۱). یک موضوع و مقوله متداول در تحقیقات بیماری‌ای مدرن این است که بیمارگر پروکاریوتی و میزان پوکاریوتی آن درگیر یک ارتباطات مولکولی پیچیده هستند که اغلب برآیند آن نتیجه یک الودگی را تعیین می‌کند. بسیاری از باکتری‌های بیمارگر گرم متفاوت این ارتباط بین سلسله‌ای پروکاریوتی و پوکاریوتی را با فرستادن پروتئین‌های خود بطور مستقیم به سیتوپلاسم می‌بینند پوکاریوتی خود از طریق سیستم ترشحی بتمام سیستم ترشحی تیپ III (T3SS) اینجکتیزوم تیپ III آغاز می‌کند (۲۶، ۲۸، ۱۹). امروزه پروتئین‌هایی که توسط T3SS منتقل می‌گردند (در گونه‌های بیماری‌ای) به عنوان

انتقال پروتئین از عرض غشاء بیولوژیکی یک بخش اساسی از زندگی سلول است. انتقال پروتئین توسط ساختارهای انجام می‌شود که در دیواره سلولی باکتری قرار گرفته‌اند. این سیستم‌های انتقال پروتئین، برای انتقال پروتئین به سطح بیرونی (اتصال به سطح خارجی) سلول باکتری یا به داخل محیط خارجی یا در مواردی حتی مستقیماً به داخل سیتوپلاسم سلول پوکاریوتی

آدرس نویسنده مسئول: ایجاد تهران-کرج، کیلومتر ۱۷، بعد از پیکان شهر، پل‌وار پژوهش، دانشکده کشاورزی
Email: nsafaei@modares.ac.ir
تاریخ دریافت مقاله: ۹۱/۱۲/۱
تاریخ پذیرش: ۹۲/۶/۱۵

سیستم ترشحی تیپ III برای اولین بار توسط گروه گای کورنلی در مطالعه باکتری های بیمارگر جانوری در اوایل دهه ۱۹۹۰ کشف شد (۲۰). مدت کوتاهی بعد از آن، مکانیسم ترشحی مشابه آن در بسیاری از باکتری های گرم متغیر جانوری و گیاهی یافت شد (۴). جنس اکروباکتریوم تنها جنسی از باکتری های گرم متغیر بیمارگر است که در آن این سیستم دیده نشده است. سیستم ترشحی T3SS به لحاظ تعداد پروتئین های تشکیل دهنده دستگاه ترشحی به عنوان پیچیده ترین سیستم ترشحی پروتئین محسوب می گردد. این سیستم به سبب چندین ویژگی از سیستم های ترشحی دیگر متمایز می گردد؛ برخلاف سیستم های وابسته به Sec که دارای سیگنال پیتیدی قابل برش می باشد در این سیستم سیگنال ترشحی انتهایی دیده نمی شود. دو مین تفاوت این سیستم ضرورت چاپرون های اختصاصی برای ترشح بسیاری از افکتورها می باشد. سومین خصوصیت و تفاوت آنها وجود دو بخش، قاعده ای سیلتدری که از تمام پوشش سلولی عبور می کند و زانده رشته ای خارج سلولی که در بیمارگرهای جانوری سوزن و در بیمارگرهای گیاهی پیلوس نامیده می شود. T3SS به لحاظ مورفولوژی و آنتیکی شیبی تازک باکتریایی است اما برخلاف تازک، زانده رشته ای به جای شرکت در عمل حرکت باکتریایی، تماس با میزبان را تسهیل می کند (۲۰).

ساختر و عملکرد اینجکتیزوم

اینجکتیزوم و تازک به لحاظ ساختاری و عملکردی ارتباط نزدیکی با یکدیگر دارند (۲۱، ۱۵). ساختار تازک از سه بخش، ۱) جسمک قاعده ای یا یک دستگاه ارسال در داخل حلقه های غشاء داخلی، ۲) یک قلاب انعطاف پذیر که به عنوان یک زانو (مفصل رابط) عمل می کند و ۳) یک رشته محکم تشکیل شده اند. ساختار اینجکتیزوم را هم می توان به سه بخش عمده تقسیم کرد: ۱) جسمک قاعده ای با دستگاه ارسال در داخل حلقه های غشاء داخلی، ۲) یک سوزن مستقیم که به سیستم ترشحی متصل است، ۳) مجموعه ترانس لوکون که تشکیل یک متفذ در غشاء سلول میزبان بیکاریوتی می دهد. اگر چه به جای قلاب و رشته مارپیچی تازک، اینجکتیزوم معمولاً دارای سوزن مستقیم و کوتاه می باشد. علاوه بر شباهت ساختاری به

افکتور شناخته می شوند (۲۸). افکتورهای منتقل شده قادر به بر هم زدن فرآیندهای بیکاریوتی می باشند که بدیتوسیله بیمارگر را قادر می سازد تا به طور مستقیم محیط میزبان منتظر خود را برای بیماریزایی بعدی تظییم کند (۱۹، ۲۸) اگرچه انواع افکتورهای منتقل شده بین گونه های مختلف بسیار متفاوت است مانشین ملکولی که برای این فرآیند انتقال بکار می رود یعنی T3SS از لحاظ ساختاری و عملکردی محافظت شده است (۱۵، ۴۰).

با تابعیت اینجکتیزوم ناتوماشین ملکولی است که به مشابه سرنگی برای تزریق پروتئین ها توسط بسیاری از باکتری های گرم متغیر پاتوژن گیاهی، جانوری به داخل سلول میزبان بکار می رود. اگرچه در تعدادی از باکتری های این سیستم توسط بعضی از باکتری های همزیست و همراه با گیاه مثلاً *Rhizobium*، *Pseudomonas fluorescens*، *biaum* یا زندگی ای فیتی بکار گرفته می شود (۲۹، ۳۰). این سیستم در ویروس اس بسیاری از باکتری های پاتوژن همانند *Xanthomonas*، *Ralstonia*، *Erwinia*، *Xanthomonas Shigella* و *Salmonella* اهمیت دارد (۲۴، ۳۹) در واقع بسیاری از پاتوژن های گیاهی و جانوری از این بیمارگرهای گیاهی و جانوری از این سیستم برای از بین بردن و کلته کردن موجودات میزبان خود استفاده می کند T3SS پروتئین های افکتور را به طور مستقیم به داخل سلول های بیکاریوت تزریق می کند و بدیتوسیله امکان دستکاری فعالیت های سلولی به نفع میزبان را فراهم می کند (۳۹). همانند بعضی دیگر از سیستم های ترشحی این دستگاه ترشحی از داخل دو غشاء پل می زند و تشکیل یک کانال پیوسته از محیط سیتوزول تا محیط خارج سلولی را می دهد در واقع اینجکتیزوم یک مسیر مستقیم پیوسته ای را برای انتقال افکتورها از سیتوپلاسم باکتری به داخل سیتوزول میزبان فراهم می کند. بیش از ۲۰ جزء پروتئینی متحصر به فرد که بسیاری از آنها به لحاظ تولی یکسانی بالای را در بین گونه ها دارند. برای عملکرد مناسب مورد نیاز است. اغلب این پروتئین ها در ایجاد یک مجموعه ماکرومکولی شرکت دارند که از غشاء داخلی، فضای بین پلاسمی، لایه پیتید و گلیکان، غشاء بیرونی فضای خارج سلولی و غشاء سلولی میزبان پل می زند (۴۰).

معدودی از پروتئین ها از صدھا پروتئین موجود در سلول باکتری محتقل می گردند در واقع غربالگری شدیدی برای سویستراهای که باید محتقل شوند وجود دارد (۱۵). برخلاف تصور گذشته که تصور می شد، اینجکتیزوم به لحاظ تکاملی قدمتی برابر قدمت تازک دارد. در واقع هر دو آنها باستانی هستند و جد مشترک دارند اخیرا مطالعات جامع فیلورانی نشان داد اینجکتیزوم از تازک محتشاه گرفته اند (۲)

ساختمان اینجکتیزوم

معماری کلی اینجکتیزوم های مختلف محافظت شده است (۴۰-۶۰). و شامل یک ساختار مارپیچی و توسعه یافته محکم (سوزن) که به یک پایه سیلتدری که از غشای داخلی و خارجی و فضای پری پلاسمی می گذرد، متصل شده، می باشد (شکل ۱). قسمت پایه سیلتدری مشابه جسمک قاعده ای تازک می باشد. این قسمت از دو چفت حلقه تشکیل شده که از غشاء درونی و بیرونی باکتری عبور (بل می زند) می کند. این کشف در خصوص ساختار با مشاهدات قبلی که بیانگر ارسال پروتئین های افکتور از عرض غشاء باکتری و انتقال از عرض غشاء بوکاریوتی در یک فرآیند یک مرحله ای بود، همخوانی دارد (۱۲). با تهیه تصاویر پاکهیت بالا مشخص شد که یک کانال مرکزی به قدر ۳۰-۴۰ انگستروم از پایین حلقه ها تا نوک سوزن امتداد دارد (۴۰). این مشاهدات بیانگر این موضوع است که اگرچه T3SS یک گذرگاه ملکولی برای انتقال پروتئینی ایجاد می کند با این وجود این گذرگاه برای عبور اکثر پروتئین های کروی از طریق آن بسیار باریک است بنا برین لازم است افکتور ها قبل از انتقال به طور جزئی یا کامل به حالت تاخورده در بیایند (۴۰). تقریباً ۲۵ پروتئین برای ساختن اینجکتیزوم مورد نیاز است بیشتر این پروتئین ها اجزاء ساختاری هستند اما بعضی دیگر اجزاء کمکی هستند که تجها در طول فرآیند مونتاژ شرکت دارند و سپس جدا می گردند (مانند ملکول های خط کشی) و یا در سیتوزول نگه داشته می شوند (برای مثال چاپرون ها). پروتئین های مرکزی اینجکتیزوم که توالی شان محافظت شده است بیش از نه پروتئین نیستند. در اینجکتیزوم هایی که توسط بیمارگر گیاهی کد می شوند این پروتئین ها محافظت شده Hrc T3SS نامیده می شوند این پروتئین ها شامل هشت پروتئین هستند که با

لحاظ ترکیب پروتئینی تشکیل دهنده تیز به شدت محافظت شده هستند (شکل ۱ و ۲) (۱۵). اغلب اجزاء هم در تازک و هم در اینجکتیزوم محافظت شده هستند و بسیاری از پروتئین ها به لحاظ توالی و عملکرد هموارگ هستند و تقریباً از کل ۲۰ پروتئینی که برای تشکیل جسمک قاعده ای تازک ضروری است حدود نصف آنها دارای همتای خود در اینجکتیزوم هستند (۱۵). مورفولوژی کلی دو کمپلکس فرا ملکولی (تازک و اینجکتیزوم) بسیار مشابه است و هر کدام شامل ساختارهای حلقه مانند در غشاء داخلی و بیرون و یک ATPase مرتبط با غشاء و یک ساختار مارپیچی بیرون سلولی می باشد (شکل ۲) در واقع تازک یک نانوماشین ملکولی پیچیده ای است که از تقریباً ۲۵ پروتئین متفاوت تشکیل شده است (۱۵، ۲۲). تازک باکتریایی دارای دو عملکرده عمده است. اول اینکه به عنوان یک سیستم ترشحی برای انتقال اجزاء ساختاری مورد نیاز برای ساخت ساختار خارج سلولی در طول فرآیند مونتاژ تازک عمل می کند و دوم، همچنین به عنوان یک موتور برای حرکت (شنا) در محیط اطراف عمل می کند (۱۵، ۲۲، ۴۰). اینجکتیزوم نیز اجزاء ساختاری خارج سلولی (متقد انتقال و سوزن) را در طول فرآیند مونتاژ انتقال می دهد (۴۰) علاوه بر این بعد از کامل شدن مونتاژ T3SS پروتئین های باکتریایی را به طور مستقیم به داخل سیتوپلاسم میزبان متفاوت می کند فرآیند ای که نیازمند گسترش سوزن و یک متقد انتقال یا ترانس لوکان می باشد (شکل ۱) (۴۰). در واقع این دو نانوماشین متفاوت از روش مشابه برای انتقال پروتئین بهره می گیرند (۵.۳۹). بنا برین T3SS، یک مسیر انتقال پروتئین یا سیستم ترشحی اختصاصی پروتئین است که توسط دونانو ماشین متفاوت استفاده می گردد اگرچه اصطلاح T3SS یا اینجکتیزوم اغلب به سیستم مورد استفاده برای ترشح یا انتقال پروتئین افکتور در زمینه تعامل یک میزبان - میکرووارگانیسم نسبت داده می شود (۷.۳۹). دونانو ماشین مذکور از این لحاظ که اغلب اجزاء خارج سلولی آنها توسط T3SS فرستاده می شوند مشابه هم هستند. یک خصوصیت مشترک همه T3SS (هم تازک و هم در اینجکتیزوم) عملکرد خیلی سریع آنها می باشد در خصوص T3SS تازکی تقریباً ۲۰ ملکول ۵۵ کیلو دالتونی فلازین در هر ثانیه در مرحله مونتاژ تازک متفاوت می گردد و تنها

از مطالعات میکروسکوپ الکترونی شباهت ساختاری جسمک قاعده ای تازگ و ایتجکتیزوم را نشان می دهد. تفاوت عمده این دو فظر حلقه سیتوپلاسمی جسمک قاعده ای تازگ که بطور قابل توجهی (حدودا ۴۰ نانومتر) در مقایسه با حلقه ایتجکتیزوم (حدود ۲۰ نانومتر) عریض تر است و فقدان ساختار شبه حلقه C در ایتجکتیزوم می باشد. در مجموع جسمک قاعده ای در ایتجکتیزوم از سه بخش عمده: کمپلکس (یا حلقه) غشاء بیرونی، کمپلکس (یا حلقه) غشاء داخلی و شبه حلقه C تشکیل شده است (۱۲، ۱۳).

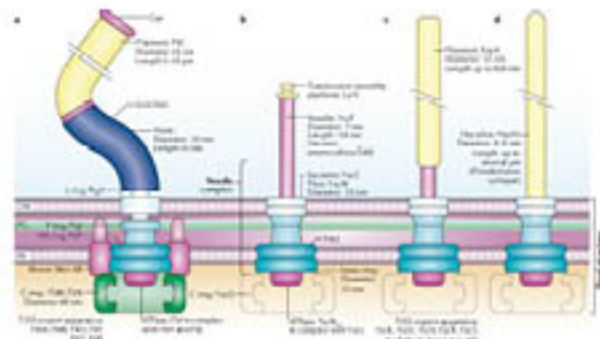
الف - گمپلکس حلقة غشاء بيروتى

جفت حلقه‌های بیرونی با غشاء بیرونی و لایه پیتید و گلیکان مرتبط است (۱۲، ۱۵). ساختار و تشکیلات (آریش) حلقه غشاء بیرونی به دلیل اینکه این ساختار تنها از یک جزء پروتئینی عمده تشکیل شده، ساده است. این جزء پروتئینی، سکرتین (از خانواده پروتئینی Y_nC) می‌باشد (۱۲، ۴۰). سکرتین‌ها خانواده پروتئینی بزرگی هستند که اعضاء آن گسترش وسیعی در بین گونه‌های باکتری‌های گرم متغیر دارند. آن‌ها علاوه بر T3SS در فرآیند انتقال ماکرومولکول‌های متعددی شامل سیستم ترشحی Tip II تشکیل پیاووس Tip ترشحی IV و آزاد سازی فازهای رشتهدی شرکت دارند (۱۲). در واقع سکرتین‌ها ساختار حلقه‌ای مولتی مری را در غشای بیرونی در سیستم‌های مختلف ترشحی II-IV تشکیل می‌دهند. سکرتین‌ها به لحاظ توالی و همچنین ساختاری هیچ گونه شباهت با هیچ یک اجزاء غشاء بیرونی سیستم تازکی ندارند در واقع آن‌ها تنها ترکیب عمده T3SS می‌باشد که هیچ همولوگ تازکی ندارند (۳۸، ۴۰). مطالعه و آنالیز ساختار و تشکیل کلآل سکرتین‌ها متعدد با میکروسکوپ الکترونی نشان داد که مونومرهای پروتئینی به صورت یک الیگومر حلقه ماتند مشکل از ۱۲ - ۱۴ زیر واحد مجمع می‌گردند در واقع این پروتئین تشکیل یک کملپکس مولتی مری حلقه ای شکل می‌دهد که در غشاء بیرونی لتگر می‌اندازد (۵). این ساختار حلقه ماتند تشکیل یک کلآل مرکزی به قطر ۱۵ - ۱۰ نانومتری می‌دهد. تشکیل حلقه سکرتین با سنتز پروتئین در سیتوپلاسم باکتری ارسال هر یک از مونومرها به بیرونی می‌گذرد و می‌تواند از میان ۱۰ نانومتری کلآل مرکزی خارج شود.

تازگ باکتریایی مشترک هستند و یک پروتئین از خانواده سکرین مم، باشد.

۱- ساختمان جسمک قاعده ای

ساختار قاعده ای اینجکتیزوم T3SS. یک چهت حلقه در غشاء داخلی و بیرونی و میله می باشد (۱۵). قسمت مرکزی حلقه های داخلی جسمک قاعده ای، شامل مجموعه ای از پروتئین ها است که تشکیل دستگاه ارسال می دهد (۳۹)، علی رغم اندازه جسمک قاعده ای تجها از سه پروتئین عمدۀ تشکیل شده که به صورت یک مجموعه از حلقه های متعدد مرکز الیگومری سازماندهی می شوند. دو پروتئین در غشاء داخلی باکتری و پروتئین سوم در غشاء بیرونی قرار دارند (۳۹). بر اساس اندازه نسبتا کوچک این پروتئین ها (همه آنها کمتر از ۷۰ دالتون هستند) و اندازه بزرگ ساختار جسمک قاعده ای (بیش از ۳۰۰ انگشتروم) این پروتئین ها باید الیگومرهاي متفاوتی را تشکيل دهند مشاهده يا میکروسکوب الکترونی نیز این موضوع را تایید می کند و مشخص شد که جسمک قاعده ای دارای ساختار حلقه مانند می باشد و دارای تقارن شعاعی بسیار متظمی است (۱۳).



شکل ۱. تصویر شماتیک ایچکتیزوم (در باکتری-*Salmonel*-A): ساختار ایچکتیزوم از سه بخش عمده تشکیل شده است: ۱. جسمک فاعده‌ای با دستگاه ارسال (export apra-*nus*) در داخل ریگهای غشاء داخلی ۲. یک سوزن مستقیم (بطرور معمول) که به سیستم ترشحی متصل است ۳. کمپلکس ترانسی لوکون (translocon) که تشکیل یک مخفذ در غشاء سلول میزبان پوکاربوتی می‌دهد. جعبه‌های خط چین شده بیانگر پروتئین‌های است که به عنوان دستگاه ارسال (export *apratus*) عمل می‌کند: oM: غشا، پیرونی: PG: پپتیدوگلیکان؛ IM: غشاء داخلی (بر گرفته از ۱۵). تصویر سه بعدی حاصل.

۱- ج - حلقه سیتوپلاسمی یا حلقه C

یک بخشی عده دیگر از جسمک قاعدهای تازک که در غشاء داخلی مونتاژ می‌گردد، حلقه سیتوپلاسمی یا حلقه C می‌باشد که از دو جزء FliN و FliM تشکیل شده است. حلقه C در زیر حلقه MS تازک تشکیل می‌گردد (۲۳، ۱۶). برآمدگی یا تورم پیازی شکل سیتوپلاسمی مشاهده شده با میکروسکوب الکترونی در باکتری *Shigella* به عنوان آنالوگ حلقه C در T3SS پیشنهاد شده است اما این ساختار در مطالعات میکروسکوب الکترونی به وضوح مشخص نشد در واقع تاکتون هیچ تصویر میکروسکوب الکترونی که بیانگر وجود حلقه C در ایجکتیزوم باشد، مشاهده نشده است. اگر چه شواهد بیوشیمیابی دال بر وجود حلقه C در ایجکتیزوم وجود دارد (۴۰). خانواده‌های پروتئین YscQ (که بسیار محافظت شده هستند) از پروتئین‌های T3SS دارای FliN و FliM تازکی هستند (۲۳) شواهد مطالعاتی بیانگر این موضوع است که این ساختار شبه C ممکن است به عنوان یک ملکول اضافی دیگر در حد فاصل سیتوپلاسم و غشاء برای یکارگیری دیگر پروتئین‌ها شامل ATPase عمل می‌کند. در تازک تیز پروتئین FliN یک جزء اصلی حلقه C با FliH (تغییر کننده) و کمپلکسی (ATPase) FliI (ATPase) تعامل می‌کند این لافتتها با محدود و گمان‌ها در خصوص عملکرد مشابه در پروتئین خانواده YscQ همخوانی دارد (۱۶، ۲۲، ۴۰).

۱- د - دستگاه ارسال

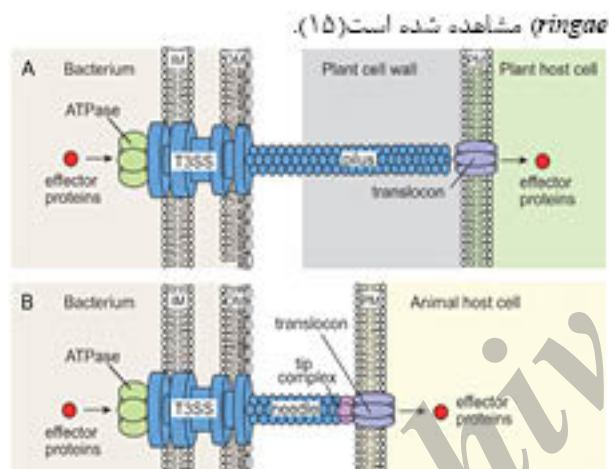
در قاعده جسمک قاعده ای هم تازک و هم ایجکتیزوم دستگاه ارسال جای دارد و شامل پنج پروتئین (شش عدد در تازک؛ FliR.FliQ.Flip.Flio.FlbA.FlbB و سه پروتئین (سه پروتئین تازکی متاضر شامل FliI.FliJ) مرتب با غشای سیتوپلاسمی (پروتئین قابل حل) می‌باشد (شکل ۳) (۱۵، ۳۹). اجزاء غشایی در قسمت مرکزی حلقه های غشای داخلی در جسمک قاعده ای قرار دارند. FliI به همراه همودایمر FliH تشکیل یک هترومر در سیتوپلاسم می‌دهد، بعد از برقرار شدن ارتباط (فضای) FliI با اجزاء دستگاه ارسال، FliI تشکیل یک هنگزامر عملکرا می‌دهد. انتقال پروتئین

مسیر واپسنه به Sec شروع می‌گردد. بتایراین تاخوردن و وارد شدن به غشاء بیرونی مراحل مهم بعدی برای الیگومریزاسیون متناسب و تشکیل کاتال در غشاء بیرونی می‌باشد. این فرآیند توسط یک کلاس مخصوص از پروتئین‌ها که به نام پایلوتین‌ها شناخته می‌شوند، انجام می‌گیرد. پایلوتین‌ها لیپوپروتئین‌های کربوکسیلی سکرین های متاضر خود متصل می‌گردد (۴۰). در واقع همانند سکرین های T2SS، بعضی از سکرین های T3SS نیازمند یک لیپو پروتئین راهنمای (یا کمکی) جهت نگهداری و محکم کردن خود (تثبیت) در غشاء بیرونی می‌باشد از جمله پروتئین‌های کمکی می‌توان به InvH.MxiM.YscW و HrpI به ترتیب مربوط به باکتری‌های *shigella*, *Yersinia*, *Salmonella* و *P. syringae* اشاره کرد. در واقع پایلوتین برای جایگزینی متناسب و مونتاژ سکرین در غشاء بیرونی مورد نیاز است (۳۹). مطالعات نشان داد که موتاسیون در آن *hrcC* (آن کد کننده سکرین در *P. syringae*) دارای نقص در تیپ ترشحی III هستند.

۱- ب - مجموعه حلقه داخلی

حلقه داخلی که خود از دو مجموع تشکیل شده است از دو پروتئینی بزرگتر از مجموع سه پروتئین جسمک قاعدهای تشکیل شده است. این مجموع حلقه‌ها به نظر می‌رسد اولین ساختار الیگومری است که ساخته می‌شوند در واقع اولین مرحله مونتاژ در تازک و ایجکتیزوم ساختار قاعدهای می‌باشد. (۳۱، ۴۰) پروتئین‌های prgK و prgH پروتئین‌های تشکیل دهنده حلقه داخلی در باکتری *S. enterica* است که بیشترین مطالعات روی آن انجام گرفته است. می‌باشد (۱۶) این پروتئینی همراه پروتئینی حلقه MS (Flif) می‌باشد (۳۸). پروتئین prgk متعلق به خانواده پروتئینی بسیار محافظت شده YscJ از پروتئین‌های پری پلاسمی می‌باشد این پروتئین بظاهر می‌رسد بوسیله یک لیپید به حاشیه بیرونی غشاء داخلی لتگر می‌اندازد. این پروتئین بعد از برش پیتید راهنمای از طریق انتهای آمیتی و گاهی به وسیله یک دومین غشایی از انتهای کربوکسیلی از طریق پیوند کوالانسی به لیپید متصل می‌گردد (۱۳).

(C ring) با خط چین نمایش داده شده است، چون اطلاعات در خصوص آن هنوز محدود است. IM غشاء داخلی؛ OM غشاء بیرونی؛ PG، پپتید و گلیکان (بر گرفته از ۱۲) اجزا قابل حل غشاء (مربط با غشاء) شامل یک ATPase اختصاصی T3SS. FliI تقطیم کننده ATPase و چاپرون T3SS می باشد. زیر واحد FliI تنظیم کننده ATPase (Dستگاه ترشحی تازگی) موجب باز کردن تا خوردگی سوبسکترهای ترشحی قبل از ارسال و همچنین موجب رها شدن چاپرون های سیتوپلاسمی از مجموعه افکتور- چاپرون یک روش وابسته به ATP می گردد. (۱۵، ۲۰) در اینجکتیزوم ها، پروتئین های خانواده YscN (InvC/YscN/Spa^{۴۷}) (InvA/YscN/MxiA) (متناظر FlhB) و (FlhA) (متناظر export) ارسال از طریق کانال را کنترل می کنند (۳۹). پروتئین (gate)، ارسال از طریق کانال را کنترل می کنند (۳۹). پروتئین Spas/YscU/Spa^{۴۰} (آنالوگ FliA) به عنوان بخشی از سوچ ملکولی عمل می کند که ترتیب زمانی ترشح اجزا دستگاه T3SS و همچنین فاکتورهای پرازایی را تنظیم می کند.



شکل ۳. نماینده شماتیک دستگاه ارسال تیپ ترشحی III تازگی (Tazik)-flagellar type III secretion apparatus

پروتئین های FliA، FliB، FliC، FliD، FliE، FliF، FliG، FliH، FliI، FliJ، FliK، FliL، FliM، FliN، FliO، FliP، FliQ، FliR، FliS، FliT، FliU، FliV، FliW، FliX، FliY، FliZ، FliZ²، FliZ³، FliZ⁴، FliZ⁵، FliZ⁶، FliZ⁷، FliZ⁸، FliZ⁹، FliZ¹⁰، FliZ¹¹، FliZ¹²، FliZ¹³، FliZ¹⁴، FliZ¹⁵، FliZ¹⁶، FliZ¹⁷، FliZ¹⁸، FliZ¹⁹، FliZ²⁰، FliZ²¹، FliZ²²، FliZ²³، FliZ²⁴، FliZ²⁵، FliZ²⁶، FliZ²⁷، FliZ²⁸، FliZ²⁹، FliZ³⁰، FliZ³¹، FliZ³²، FliZ³³، FliZ³⁴، FliZ³⁵، FliZ³⁶، FliZ³⁷، FliZ³⁸، FliZ³⁹، FliZ⁴⁰، FliZ⁴¹، FliZ⁴²، FliZ⁴³، FliZ⁴⁴، FliZ⁴⁵، FliZ⁴⁶، FliZ⁴⁷، FliZ⁴⁸، FliZ⁴⁹، FliZ⁵⁰، FliZ⁵¹، FliZ⁵²، FliZ⁵³، FliZ⁵⁴، FliZ⁵⁵، FliZ⁵⁶، FliZ⁵⁷، FliZ⁵⁸، FliZ⁵⁹، FliZ⁶⁰، FliZ⁶¹، FliZ⁶²، FliZ⁶³، FliZ⁶⁴، FliZ⁶⁵، FliZ⁶⁶، FliZ⁶⁷، FliZ⁶⁸، FliZ⁶⁹، FliZ⁷⁰، FliZ⁷¹، FliZ⁷²، FliZ⁷³، FliZ⁷⁴، FliZ⁷⁵، FliZ⁷⁶، FliZ⁷⁷، FliZ⁷⁸، FliZ⁷⁹، FliZ⁸⁰، FliZ⁸¹، FliZ⁸²، FliZ⁸³، FliZ⁸⁴، FliZ⁸⁵، FliZ⁸⁶، FliZ⁸⁷، FliZ⁸⁸، FliZ⁸⁹، FliZ⁹⁰، FliZ⁹¹، FliZ⁹²، FliZ⁹³، FliZ⁹⁴، FliZ⁹⁵، FliZ⁹⁶، FliZ⁹⁷، FliZ⁹⁸، FliZ⁹⁹، FliZ¹⁰⁰، FliZ¹⁰¹، FliZ¹⁰²، FliZ¹⁰³، FliZ¹⁰⁴، FliZ¹⁰⁵، FliZ¹⁰⁶، FliZ¹⁰⁷، FliZ¹⁰⁸، FliZ¹⁰⁹، FliZ¹¹⁰، FliZ¹¹¹، FliZ¹¹²، FliZ¹¹³، FliZ¹¹⁴، FliZ¹¹⁵، FliZ¹¹⁶، FliZ¹¹⁷، FliZ¹¹⁸، FliZ¹¹⁹، FliZ¹²⁰، FliZ¹²¹، FliZ¹²²، FliZ¹²³، FliZ¹²⁴، FliZ¹²⁵، FliZ¹²⁶، FliZ¹²⁷، FliZ¹²⁸، FliZ¹²⁹، FliZ¹³⁰، FliZ¹³¹، FliZ¹³²، FliZ¹³³، FliZ¹³⁴، FliZ¹³⁵، FliZ¹³⁶، FliZ¹³⁷، FliZ¹³⁸، FliZ¹³⁹، FliZ¹⁴⁰، FliZ¹⁴¹، FliZ¹⁴²، FliZ¹⁴³، FliZ¹⁴⁴، FliZ¹⁴⁵، FliZ¹⁴⁶، FliZ¹⁴⁷، FliZ¹⁴⁸، FliZ¹⁴⁹، FliZ¹⁵⁰، FliZ¹⁵¹، FliZ¹⁵²، FliZ¹⁵³، FliZ¹⁵⁴، FliZ¹⁵⁵، FliZ¹⁵⁶، FliZ¹⁵⁷، FliZ¹⁵⁸، FliZ¹⁵⁹، FliZ¹⁶⁰، FliZ¹⁶¹، FliZ¹⁶²، FliZ¹⁶³، FliZ¹⁶⁴، FliZ¹⁶⁵، FliZ¹⁶⁶، FliZ¹⁶⁷، FliZ¹⁶⁸، FliZ¹⁶⁹، FliZ¹⁷⁰، FliZ¹⁷¹، FliZ¹⁷²، FliZ¹⁷³، FliZ¹⁷⁴، FliZ¹⁷⁵، FliZ¹⁷⁶، FliZ¹⁷⁷، FliZ¹⁷⁸، FliZ¹⁷⁹، FliZ¹⁸⁰، FliZ¹⁸¹، FliZ¹⁸²، FliZ¹⁸³، FliZ¹⁸⁴، FliZ¹⁸⁵، FliZ¹⁸⁶، FliZ¹⁸⁷، FliZ¹⁸⁸، FliZ¹⁸⁹، FliZ¹⁹⁰، FliZ¹⁹¹، FliZ¹⁹²، FliZ¹⁹³، FliZ¹⁹⁴، FliZ¹⁹⁵، FliZ¹⁹⁶، FliZ¹⁹⁷، FliZ¹⁹⁸، FliZ¹⁹⁹، FliZ²⁰⁰، FliZ²⁰¹، FliZ²⁰²، FliZ²⁰³، FliZ²⁰⁴، FliZ²⁰⁵، FliZ²⁰⁶، FliZ²⁰⁷، FliZ²⁰⁸، FliZ²⁰⁹، FliZ²¹⁰، FliZ²¹¹، FliZ²¹²، FliZ²¹³، FliZ²¹⁴، FliZ²¹⁵، FliZ²¹⁶، FliZ²¹⁷، FliZ²¹⁸، FliZ²¹⁹، FliZ²²⁰، FliZ²²¹، FliZ²²²، FliZ²²³، FliZ²²⁴، FliZ²²⁵، FliZ²²⁶، FliZ²²⁷، FliZ²²⁸، FliZ²²⁹، FliZ²³⁰، FliZ²³¹، FliZ²³²، FliZ²³³، FliZ²³⁴، FliZ²³⁵، FliZ²³⁶، FliZ²³⁷، FliZ²³⁸، FliZ²³⁹، FliZ²⁴⁰، FliZ²⁴¹، FliZ²⁴²، FliZ²⁴³، FliZ²⁴⁴، FliZ²⁴⁵، FliZ²⁴⁶، FliZ²⁴⁷، FliZ²⁴⁸، FliZ²⁴⁹، FliZ²⁵⁰، FliZ²⁵¹، FliZ²⁵²، FliZ²⁵³، FliZ²⁵⁴، FliZ²⁵⁵، FliZ²⁵⁶، FliZ²⁵⁷، FliZ²⁵⁸، FliZ²⁵⁹، FliZ²⁶⁰، FliZ²⁶¹، FliZ²⁶²، FliZ²⁶³، FliZ²⁶⁴، FliZ²⁶⁵، FliZ²⁶⁶، FliZ²⁶⁷، FliZ²⁶⁸، FliZ²⁶⁹، FliZ²⁷⁰، FliZ²⁷¹، FliZ²⁷²، FliZ²⁷³، FliZ²⁷⁴، FliZ²⁷⁵، FliZ²⁷⁶، FliZ²⁷⁷، FliZ²⁷⁸، FliZ²⁷⁹، FliZ²⁸⁰، FliZ²⁸¹، FliZ²⁸²، FliZ²⁸³، FliZ²⁸⁴، FliZ²⁸⁵، FliZ²⁸⁶، FliZ²⁸⁷، FliZ²⁸⁸، FliZ²⁸⁹، FliZ²⁹⁰، FliZ²⁹¹، FliZ²⁹²، FliZ²⁹³، FliZ²⁹⁴، FliZ²⁹⁵، FliZ²⁹⁶، FliZ²⁹⁷، FliZ²⁹⁸، FliZ²⁹⁹، FliZ³⁰⁰، FliZ³⁰¹، FliZ³⁰²، FliZ³⁰³، FliZ³⁰⁴، FliZ³⁰⁵، FliZ³⁰⁶، FliZ³⁰⁷، FliZ³⁰⁸، FliZ³⁰⁹، FliZ³¹⁰، FliZ³¹¹، FliZ³¹²، FliZ³¹³، FliZ³¹⁴، FliZ³¹⁵، FliZ³¹⁶، FliZ³¹⁷، FliZ³¹⁸، FliZ³¹⁹، FliZ³²⁰، FliZ³²¹، FliZ³²²، FliZ³²³، FliZ³²⁴، FliZ³²⁵، FliZ³²⁶، FliZ³²⁷، FliZ³²⁸، FliZ³²⁹، FliZ³³⁰، FliZ³³¹، FliZ³³²، FliZ³³³، FliZ³³⁴، FliZ³³⁵، FliZ³³⁶، FliZ³³⁷، FliZ³³⁸، FliZ³³⁹، FliZ³⁴⁰، FliZ³⁴¹، FliZ³⁴²، FliZ³⁴³، FliZ³⁴⁴، FliZ³⁴⁵، FliZ³⁴⁶، FliZ³⁴⁷، FliZ³⁴⁸، FliZ³⁴⁹، FliZ³⁵⁰، FliZ³⁵¹، FliZ³⁵²، FliZ³⁵³، FliZ³⁵⁴، FliZ³⁵⁵، FliZ³⁵⁶، FliZ³⁵⁷، FliZ³⁵⁸، FliZ³⁵⁹، FliZ³⁶⁰، FliZ³⁶¹، FliZ³⁶²، FliZ³⁶³، FliZ³⁶⁴، FliZ³⁶⁵، FliZ³⁶⁶، FliZ³⁶⁷، FliZ³⁶⁸، FliZ³⁶⁹، FliZ³⁷⁰، FliZ³⁷¹، FliZ³⁷²، FliZ³⁷³، FliZ³⁷⁴، FliZ³⁷⁵، FliZ³⁷⁶، FliZ³⁷⁷، FliZ³⁷⁸، FliZ³⁷⁹، FliZ³⁸⁰، FliZ³⁸¹، FliZ³⁸²، FliZ³⁸³، FliZ³⁸⁴، FliZ³⁸⁵، FliZ³⁸⁶، FliZ³⁸⁷، FliZ³⁸⁸، FliZ³⁸⁹، FliZ³⁹⁰، FliZ³⁹¹، FliZ³⁹²، FliZ³⁹³، FliZ³⁹⁴، FliZ³⁹⁵، FliZ³⁹⁶، FliZ³⁹⁷، FliZ³⁹⁸، FliZ³⁹⁹، FliZ⁴⁰⁰، FliZ⁴⁰¹، FliZ⁴⁰²، FliZ⁴⁰³، FliZ⁴⁰⁴، FliZ⁴⁰⁵، FliZ⁴⁰⁶، FliZ⁴⁰⁷، FliZ⁴⁰⁸، FliZ⁴⁰⁹، FliZ⁴¹⁰، FliZ⁴¹¹، FliZ⁴¹²، FliZ⁴¹³، FliZ⁴¹⁴، FliZ⁴¹⁵، FliZ⁴¹⁶، FliZ⁴¹⁷، FliZ⁴¹⁸، FliZ⁴¹⁹، FliZ⁴²⁰، FliZ⁴²¹، FliZ⁴²²، FliZ⁴²³، FliZ⁴²⁴، FliZ⁴²⁵، FliZ⁴²⁶، FliZ⁴²⁷، FliZ⁴²⁸، FliZ⁴²⁹، FliZ⁴³⁰، FliZ⁴³¹، FliZ⁴³²، FliZ⁴³³، FliZ⁴³⁴، FliZ⁴³⁵، FliZ⁴³⁶، FliZ⁴³⁷، FliZ⁴³⁸، FliZ⁴³⁹، FliZ⁴⁴⁰، FliZ⁴⁴¹، FliZ⁴⁴²، FliZ⁴⁴³، FliZ⁴⁴⁴، FliZ⁴⁴⁵، FliZ⁴⁴⁶، FliZ⁴⁴⁷، FliZ⁴⁴⁸، FliZ⁴⁴⁹، FliZ⁴⁵⁰، FliZ⁴⁵¹، FliZ⁴⁵²، FliZ⁴⁵³، FliZ⁴⁵⁴، FliZ⁴⁵⁵، FliZ⁴⁵⁶، FliZ⁴⁵⁷، FliZ⁴⁵⁸، FliZ⁴⁵⁹، FliZ⁴⁶⁰، FliZ⁴⁶¹، FliZ⁴⁶²، FliZ⁴⁶³، FliZ⁴⁶⁴، FliZ⁴⁶⁵، FliZ⁴⁶⁶، FliZ⁴⁶⁷، FliZ⁴⁶⁸، FliZ⁴⁶⁹، FliZ⁴⁷⁰، FliZ⁴⁷¹، FliZ⁴⁷²، FliZ⁴⁷³، FliZ⁴⁷⁴، FliZ⁴⁷⁵، FliZ⁴⁷⁶، FliZ⁴⁷⁷، FliZ⁴⁷⁸، FliZ⁴⁷⁹، FliZ⁴⁸⁰، FliZ⁴⁸¹، FliZ⁴⁸²، FliZ⁴⁸³، FliZ⁴⁸⁴، FliZ⁴⁸⁵، FliZ⁴⁸⁶، FliZ⁴⁸⁷، FliZ⁴⁸⁸، FliZ⁴⁸⁹، FliZ⁴⁹⁰، FliZ⁴⁹¹، FliZ⁴⁹²، FliZ⁴⁹³، FliZ⁴⁹⁴، FliZ⁴⁹⁵، FliZ⁴⁹⁶، FliZ⁴⁹⁷، FliZ⁴⁹⁸، FliZ⁴⁹⁹، FliZ⁵⁰⁰، FliZ⁵⁰¹، FliZ⁵⁰²، FliZ⁵⁰³، FliZ⁵⁰⁴، FliZ⁵⁰⁵، FliZ⁵⁰⁶، FliZ⁵⁰⁷، FliZ⁵⁰⁸، FliZ⁵⁰⁹، FliZ⁵¹⁰، FliZ⁵¹¹، FliZ⁵¹²، FliZ⁵¹³، FliZ⁵¹⁴، FliZ⁵¹⁵، FliZ⁵¹⁶، FliZ⁵¹⁷، FliZ⁵¹⁸، FliZ⁵¹⁹، FliZ⁵²⁰، FliZ⁵²¹، FliZ⁵²²، FliZ⁵²³، FliZ⁵²⁴، FliZ⁵²⁵، FliZ⁵²⁶، FliZ⁵²⁷، FliZ⁵²⁸، FliZ⁵²⁹، FliZ⁵³⁰، FliZ⁵³¹، FliZ⁵³²، FliZ⁵³³، FliZ⁵³⁴، FliZ⁵³⁵، FliZ⁵³⁶، FliZ⁵³⁷، FliZ⁵³⁸، FliZ⁵³⁹، FliZ⁵⁴⁰، FliZ⁵⁴¹، FliZ⁵⁴²، FliZ⁵⁴³، FliZ⁵⁴⁴، FliZ⁵⁴⁵، FliZ⁵⁴⁶، FliZ⁵⁴⁷، FliZ⁵⁴⁸، FliZ⁵⁴⁹، FliZ⁵⁵⁰، FliZ⁵⁵¹، FliZ⁵⁵²، FliZ⁵⁵³، FliZ⁵⁵⁴، FliZ⁵⁵⁵، FliZ⁵⁵⁶، FliZ⁵⁵⁷، FliZ⁵⁵⁸، FliZ⁵⁵⁹، FliZ⁵⁶⁰، FliZ⁵⁶¹، FliZ⁵⁶²، FliZ⁵⁶³، FliZ⁵⁶⁴، FliZ⁵⁶⁵، FliZ⁵⁶⁶، FliZ⁵⁶⁷، FliZ⁵⁶⁸، FliZ⁵⁶⁹، FliZ⁵⁷⁰، FliZ⁵⁷¹، FliZ⁵⁷²، FliZ⁵⁷³، FliZ⁵⁷⁴، FliZ⁵⁷⁵، FliZ⁵⁷⁶، FliZ⁵⁷⁷، FliZ⁵⁷⁸، FliZ⁵⁷⁹، FliZ⁵⁸⁰، FliZ⁵⁸¹، FliZ⁵⁸²، FliZ⁵⁸³، FliZ⁵⁸⁴، FliZ⁵⁸⁵، FliZ⁵⁸⁶، FliZ⁵⁸⁷، FliZ⁵⁸⁸، FliZ⁵⁸⁹، FliZ⁵⁹⁰، FliZ⁵⁹¹، FliZ⁵⁹²، FliZ⁵⁹³، FliZ⁵⁹⁴، FliZ⁵⁹⁵، FliZ⁵⁹⁶، FliZ⁵⁹⁷، FliZ⁵⁹⁸، FliZ⁵⁹⁹، FliZ⁶⁰⁰، FliZ⁶⁰¹، FliZ⁶⁰²، FliZ⁶⁰³، FliZ⁶⁰⁴، FliZ⁶⁰⁵، FliZ⁶⁰⁶، FliZ⁶⁰⁷، FliZ⁶⁰⁸، FliZ⁶⁰⁹، FliZ⁶¹⁰، FliZ⁶¹¹، FliZ⁶¹²، FliZ⁶¹³، FliZ⁶¹⁴، FliZ⁶¹⁵، FliZ⁶¹⁶، FliZ⁶¹⁷، FliZ⁶¹⁸، FliZ⁶¹⁹، FliZ⁶²⁰، FliZ⁶²¹، FliZ⁶²²، FliZ⁶²³، FliZ⁶²⁴، FliZ⁶²⁵، FliZ⁶²⁶، FliZ⁶²⁷، FliZ⁶²⁸، FliZ⁶²⁹، FliZ⁶³⁰، FliZ⁶³¹، FliZ⁶³²، FliZ⁶³³، FliZ⁶³⁴، FliZ⁶³⁵، FliZ⁶³⁶، FliZ⁶³⁷، FliZ⁶³⁸، FliZ⁶³⁹، FliZ⁶⁴⁰، FliZ⁶⁴¹، FliZ⁶⁴²، FliZ⁶⁴³، FliZ⁶⁴⁴، FliZ⁶⁴⁵، FliZ⁶⁴⁶، FliZ⁶⁴⁷، FliZ⁶⁴⁸، FliZ⁶⁴⁹، FliZ⁶⁵⁰، FliZ⁶⁵¹، FliZ⁶⁵²، FliZ⁶⁵³، FliZ⁶⁵⁴، FliZ⁶⁵⁵، FliZ⁶⁵⁶، FliZ⁶⁵⁷، FliZ⁶⁵⁸، FliZ⁶⁵⁹، FliZ⁶⁶⁰، FliZ⁶⁶¹، FliZ⁶⁶²، FliZ⁶⁶³، FliZ⁶⁶⁴، FliZ⁶⁶⁵، FliZ⁶⁶⁶، FliZ⁶⁶⁷، FliZ⁶⁶⁸، FliZ⁶⁶⁹، FliZ⁶⁷⁰، FliZ⁶⁷¹، FliZ⁶⁷²، FliZ⁶⁷³، FliZ⁶⁷⁴، FliZ⁶⁷⁵، FliZ⁶⁷⁶، FliZ⁶⁷⁷، FliZ⁶⁷⁸، FliZ⁶⁷⁹، FliZ⁶⁸⁰، FliZ⁶⁸¹، FliZ⁶⁸²، FliZ⁶⁸³، FliZ⁶⁸⁴، FliZ⁶⁸⁵، FliZ⁶⁸⁶، FliZ⁶⁸⁷، FliZ⁶⁸⁸، FliZ⁶⁸⁹، FliZ⁶⁹⁰، FliZ⁶⁹¹، FliZ⁶⁹²، FliZ⁶⁹³، FliZ⁶⁹⁴، FliZ⁶⁹⁵، FliZ⁶⁹⁶، FliZ⁶⁹⁷، FliZ⁶⁹⁸، FliZ⁶⁹⁹، FliZ⁷⁰⁰، FliZ⁷⁰¹، FliZ⁷⁰²، FliZ⁷⁰³، FliZ⁷⁰⁴، FliZ⁷⁰⁵، FliZ⁷⁰⁶، FliZ⁷⁰⁷، FliZ⁷⁰⁸، FliZ⁷⁰⁹، FliZ⁷¹⁰، FliZ⁷¹¹، FliZ⁷¹²، FliZ⁷¹³، FliZ⁷¹⁴، FliZ⁷¹⁵، FliZ⁷¹⁶، FliZ⁷¹⁷، FliZ⁷¹⁸، FliZ⁷¹⁹، FliZ⁷²⁰، FliZ⁷²¹، FliZ⁷²²، FliZ⁷²³، FliZ⁷²⁴، FliZ⁷²⁵، FliZ⁷²⁶، FliZ⁷²⁷، FliZ⁷²⁸، FliZ⁷²⁹، FliZ⁷³⁰، FliZ⁷³¹، FliZ⁷³²، FliZ⁷³³، FliZ⁷³⁴، FliZ⁷³⁵، FliZ⁷³⁶، FliZ⁷³⁷، FliZ⁷³⁸، FliZ⁷³⁹، FliZ⁷⁴⁰، FliZ⁷⁴¹، FliZ⁷⁴²، FliZ⁷⁴³، FliZ⁷⁴⁴، FliZ⁷⁴⁵، FliZ⁷⁴⁶، FliZ⁷⁴⁷، FliZ⁷⁴⁸، FliZ⁷⁴⁹، FliZ⁷⁵⁰، FliZ⁷⁵¹، FliZ⁷⁵²، FliZ⁷⁵³، FliZ⁷⁵⁴، FliZ⁷⁵⁵، FliZ⁷⁵⁶، FliZ⁷⁵⁷، FliZ⁷⁵⁸، FliZ⁷⁵⁹، FliZ⁷⁶⁰، FliZ⁷⁶¹، FliZ⁷⁶²، FliZ⁷⁶³، FliZ⁷⁶⁴، FliZ⁷⁶⁵، FliZ⁷⁶⁶، FliZ⁷⁶⁷، FliZ⁷⁶⁸، FliZ⁷⁶⁹، FliZ⁷⁷⁰، FliZ⁷⁷¹، FliZ⁷⁷²، FliZ⁷⁷³، FliZ⁷⁷⁴، FliZ⁷⁷⁵، FliZ⁷⁷⁶، FliZ⁷⁷⁷، FliZ⁷⁷⁸، FliZ⁷⁷⁹، FliZ⁷⁸⁰، FliZ⁷⁸¹، FliZ⁷⁸²، FliZ⁷⁸³، FliZ⁷⁸⁴، FliZ⁷⁸⁵، FliZ⁷⁸⁶، FliZ⁷⁸⁷، FliZ⁷⁸⁸، FliZ⁷⁸⁹، FliZ⁷⁹⁰، FliZ⁷⁹¹، FliZ⁷⁹²، FliZ⁷⁹³، FliZ⁷⁹⁴، FliZ⁷⁹⁵، FliZ⁷⁹⁶، FliZ<sup

(۱۵، ۱۶). سوزن از پلیمریزاسیون ماربیچی ۱۰۰ تا ۱۵۰ ملکول (زیر واحد) از خانواده *YscF* (PrgI/YscF/MxiH) ایجاد می گردد. در مقایسه با زیر واحدهای قلاب تازک، *FlgE* (۴۲ KD) و زیر واحد رشته تازک (۵۱ KD) پروتئین های سوزن نسبتاً کوچک هستند (۱۶، ۱۵، ۳۹). همانند رشته تازکی سوزن نیز دارای یک حفره داخلی به قطر تقریبی ۲۵ انگستروم می باشد که به عنوان یک مجرای (کانال) ملکولی برای انتقال پروتئین تیپ ترشحی III عمل می کند (۴۰). سوزن علاوه بر وجود یک کانال با ابعاد برابر (۱۶ انگستروم)، در پارامترهای ماربیچ مانند ۵/۶ زیر واحد در هر چرخش، افزایش طول محور (۴/۲ واحد به ازای هر زیر واحد) و، شباهت بالایی با قلاب و رشته تازکی دارد، که بیانگر شباهت ساختاری تازک و ایجکتیزوم می باشد (۱۱، ۴۰). با مطالعه ساختار کریستالی مشخص شد که زیر واحد سوزن *MixH*، در باکتری *Shigella* شامل دو آلفا هلیکس خمیده ناهمسو می باشد که با یک پیچ کوتاه (*PoxP turn*) به هم متصل شده اند (۱۴) این ساختار مشابه با ساختار دومین *D*-فلازلین و *EspA* (رجوع شود به بخش ۲-۲ الف) می باشد. یک پروتئین مرتبی با سوزن، پروتئین میله (*inner rod*) *PrgJ/Ysc/MxiI* (protein) در جسمک قاعده ای می باشد. *PrgJ* موجبه امتداد سوزن از طریق یک کانال مرکزی از جسمک قاعده ای می گردد (۳۹). آنالیز توالی نشان داد که *PrgJ* یک پارالوگ زیر واحد سوزن می باشد (۳۹).

۲-۲- ملحقات متصل به سوزن

در چندین گونه مشخص شده است که سوزن با ساختارهای اضافی دیگر مرتب است. این ملحقات به نوک سوزن متصل می گردند در اتصال سوزن به روزنه انتقال و ایجاد متذبذب نشش دارند (شکل ۲) (۱۲، ۴۰).

۲-۲- الف - کمپلکس راس سوزن

امروزه چندین ساختار از پروتئین های راس سوزن شناسایی شده است مانند پروتئین های *LcrV* (*Yersinia*) *EspA* (۳۹)، *BipD* (*EPEC*)، *IpaD* (*Burkholderia*) و *Shigella* (۳۹) علی رغم تنوع ساختاری، همه پروتئین های راس سوزن دارای یک دومین حلقة- حلقة مرکزی مشترک می باشند که به لحاظ

از کanal نازک حدوداً به قطر ۲ نانومتر باید به حالت تانخورده در آیتد این عمل توسط *FliI* با یک روش وابسته به ATP انجام می گردد. CM، غشای سیتوپلاسمی (بر گرفته از ۱۵ مطالعات بیوشیمیابی روی *HrcN* از خانواده *YscN*) باکتری *P. syringae* نشان داد که این پروتئین موجب هیدرولیز ATP می گردد. این پروتئین تشکیل هگزامر و دو کامرهای می دهد که با قسمت سیتوپلاسمی غشاء داخلی باکتری مرتب هستند. الیگومریزاسیون موجب فعال شدن ATPase می گردد (۳۷). ساختار دودکامری *HrcN* تهیه شده با میکروسکوب الکترونی به صورت دو حلقه هگزامری است که روی هم قرار گرفتند. این ساختار قابل مقایسه با *ATPase* تازکی می باشد که تشکیل یک ساختار ریتگی با تقارن شش وجهی با قطر بیرونی تقریباً ۱۰ نانومتر و حفره مرکزی ۲۵ نا ۳۵ انگستروم می داشت (۱۵).

۲- اجزای ساختار خارج سلولی ایجکتیزوم

قسمت خارج سلولی را می توان به سه یخش عمده تقسیم کرد (شکل ۲) (۴۰).

۱- سوزن

سوزن یک پلیمر ماربیچی است و از چند صد کپی از یک پروتئین از خانواده *YscF* ساخته شده است. ۲- زانده انتهاهی سوزن؛ که از یک پروتئین که به لحاظ توالی در ایجکتیزوم ها مختلف متفاوت است تشکیل شده است. این پروتئین بسته به گونه باکتری تشکیل کمپلکس انتهاهی سوزن یا یک ساختار رشته ای می دهد. ۳- ترانسلوکان (یا متقد انتقال)؛ که شامل دو پروتئین از خانواده *YopB* و *YopD* می باشد هترو الیگومرهای این دو پروتئین تشکیل متفذ در غشای میزان می دهد. این متفذ برای ورود افکتور به داخل سلول مورد نیاز است. همه این پروتئین ها توسط جسمک قاعده ای تازه تشکیل شده، که به عنوان یک ماشین ترشح عمل می کند به فضای خارج سلولی منتقل می گردد.

۲-۱- سوزن

سوزن مشخص ترین جزء ایجکتیزوم می باشد. سوزن ایجکتیزوم یک اوله توخالی مستقیم به طول تقریبی ۶۰ نانومتر به قطر ۷ نانومتر با قطر داخلی ۲۵ انگستروم می باشد

۲-۳- پیلوس **Hrp** در اینجکتیزوم بیمارگر های گیاهی یک ساختار طویل نازک که پیلوس **Hrp** نامیده می شود جایگزین سوزن می گردد (۱۲) (شکل ۲.۴). در بیمارگر های گیاهی **Hrp** مهمترین زانه دستگاه T3SS می باشد. پیلوس **Hrp** موجب حدایت افکتورهای پروتئینی به سلول گیاهی می گردد (۲۸). پیلوس **Hrp** از سر هم شدن مارپیچی چندین نسخه از پروتئین کوچک (۶ تا ۱۱ دالتونی)، **HrpA** در *P. syringae* و *Ralstonia solanacearum* در **HrpY**، *Erwinia amylovora* و **HrpE** در *Xanthomonas campestris* تشکیل شده است. اگرچه ممکن است زیر واحد های کوچک اضافی دیگر هم وجود داشته باشد. بتابارین پروتئین **HrpA** جزء اصلی پیلوس **Hrp** را تشکیل می دهد (۲۸).

برخلاف جسمک قاعده ای اینجکتیزوم که بین T3SS های مختلف محافظت شده است سوزن و پیلوس **Hrp** در T3SS ها بسیار متنوع است. این توع احتمالاً به دلیل تفاوت میزبانی، محیط و نحوه آسودگی باکتری های مختلف می باشد در واقع این تفاوت های ساختاری به دلیل تفاوت در محدودیت های عملکردی که این نانو ماشین ها در موجودات میزبان خود با آن روپرتو هستند، می باشد در واقع این توع به دلیل ضرورت میکالیکی به دلیل توع آسودگی می باشد. در روده سلول های *EPEC* از سلول های هدف (enterocyte) خود بوسیله یک لایه افکتورهای خود را از عرض دیواره سلولی ضخیم عبور دهد (۱۲). علاوه بر این ملحقات سوزن ممکن است به دلیل اینکه در تماس مستقیم با سلول میزبان هستند توع بیشتری بر آنها تحمیل گردد این تماس مستقیم موجب می گردد که پروتئین های پیلوس/سوزن بطور بالقوه مورد هدف پاسخ های دفاعی میزبان فرار گیرند. در واقع آنها تحت فشار انتخابی از طریق تکامل همراهی بیمارگر و میزبان هستند (۱۳).

۲-۴- منفذ انتقال (ترانس لوکان)

در بیرونی ترین بخش انتهایی اینجکتیزوم ترانس لوکان یا منفذ انتقال قرار دارد. منفذ انتقال یک کمپلکس پروتئینی است که بطور مستقیم در داخل غشای سلولی میزبان بوکاریوتی تشکیل

توبولوژی مشابه پروتومر سوزن می باشد اما به لحاظ دومین های انتهایی و داخلی از یکدیگر متفاوت هستند که تصور می شود به دلیل عملکردهای متفاوت آنها باشد (۶). ساختمان کمپلکس سوزن با کلاهک رشته تازک قابل مقایسه است. کمپلکس راس پتانمری شکل (۳۹) در انتهای سوزن می دهد (۳۷). با توجه به ساختار مشابه پتانمری می توان عملکرد مشابهی را برای آن دو متصور شد (۱۵). در خصوص اینجکتیزوم تصور می شود پروتئین های راس سوزن مسئول وارد شدن صحیح کمپلکس ترانس لوکون که تشکیل منفذ در غشای سلول بوکاریوتی را می دهد می باشد (۱۵).

۲-۴- ب - ساختار زانه رشته ای

یک استثناء جالب توجه در خصوص پروتئین های راس سوزن، پروتئین **EspA** می باشد که تشکیل یک دنباله رشته ای بلند و متمایز در انتهای سوزن *enteropathogenic E. coli* (*EPEC*) می دهد (شکل ۲) (۳۹). در اینجکتیزوم دیده می شود (۱۲) ساختار طویل انعطاف پذیر که رشته **EspA filament** (**EspA**) نامیده می شود در ادامه سوزن اینجکتیزوم دیده می شود (۱۲). رشته **EspA** یک پلی مر مارپیچی است که از چندین کبی از پروتئین **EspA** تشکیل شده است. پروتئین **EspA** به لحاظ توالی همولوژی با اجزاء تازک باکتری ندارد (۴۰). آنالیز زیوم نشان داد پروتئین **EspA** ارتولوگ **LcrV** می باشد. بتابارین در *EPEC* پروتئین راس سوزن برای پلیمریزه شدن به صورت یک رشته بجای تشکیل یک حلقه ساده (توسط پروتئین آب دوست **LcrV**) توسعه یافته است اما این پروتئین عملکرد خود را به عنوان سکوی برای تشکیل منفذ توسط دو پروتئین آب گریز حفظ کرده است (۴۰). طول رشته **EspA** بسیار متغیر است و می تواند تا بیش از ۶۰۰ نانومتر هم برسد که در این حالت ده برابر طویل تر از متوسط طول سوزن اینجکتیزوم می باشد (۳۶). رشته **EspA** ممکن است برای سازگاری باکتری لازم باشد. رشته **EspA** اینجکتیزوم این بیمارگر (بیمارگر سطح روده) را قادر می سازد تا از لایه ضخیم گلیکالیکس سطح ابی تیلوم نفوذ کند (۳۹).

در حفاظت گیاهی با استفاده از افکتور های ترشحی، هارپین ها می باشد. هارپین ها و پروتئین های شبه هارپین از باکتری های بیمارگر گیاهی موجب برانگیختن پاسخ های دفاعی در گیاهان می شوند. که می توان آنها را با باکتری های تولید کننده آنها به صورت فرمولاسیون تجاری تهیه کرد (۳۷). هارپین ها اغلب موجب القاء مقاومت در گیاهان با طیف وسیع علیه انواع مختلف بیمارگر ها (۳۸) و بعضی حشرات، القا رشد و بهبود مقاومت T3SS به خشکی می گردد. از دیگر افکتور های باکتریایی T3SS تیز می توان برای القاء سیستم دفاعی گیاه استفاده کرد. اما آنها باید به داخل سلول تزریق گردد. در این حالت می توان از پرموتر های القا شونده توسط بیمارگر های بیماریزا برای ایجاد گیاهان ترا ریخت استفاده کرد. شکل ۴. نمایش شماتیک T3SS باکتری گیاهی (A) و جانوری (B). دستگاه ترشحی از دوغشان باکتریایی پل می زند و با ATPase سیتوپلاسمی مرتبط می باشد. اینجکتیزوم (T3SS) باکتری پاتوژن گیاهی با یک پیلوی خارج سلولی مرتبط است که از دیواره سلولی گیاه عبور می کند. اینجکتیزوم (T3SS) باکتری پاتوژن جانوری با یک سوزن خارج سلولی کوچک متصل است. سوزن از طریق کمپلکس راس (tip complex) به ترانس لوکان (translocon) متصل است که تشکیل یک کانال پروتئینی در غشاء پلاسمایی میزبان می دهد و امکان انتقال پروتئین های افکتور به داخل سیتوپلازل میزبان را فراهم می کند. در باکتری های پاتوژن گیاهی فاقد کمپلکس راس (tip complex) می باشد. IM. غشاء داخلی؛ OM. غشاء بیرونی؛ PM : غشاء پلاسمایی (۵). از اینجکتیزوم می توان در شناسایی و تشخیص استرین های باکتریایی بر اساس توالی زن های رمز کننده افکتور یا خوشه زنی رمز کننده دستگاه T3SS به رجای روش های مرسوم بر اساس توالی های ریبوزومی (۱، ۲۵، ۳۴) استفاده کرد (۴۱). همچنین می توان از آنها در جهت اهداف تشخیصی با استفاده از پروب های تشخیصی طراحی شده برای جزایر بیماریزا مانند جزایر بیماریزا حاوی T3SS به جای پروب های طراحی شده بر اساس زن های خانه داری استفاده کرد (۱۸). همچنین از باکتری های موتان T3SS می توان به عنوان واکسن های زنده استفاده کرد. این استراتژی برخلاف جانوران در خصوص گیاهان به دلیل فقدان سیستم ایمنی همانند جانوران امکان پذیر نیست

می گردد (شکل ۲) (۳۹). این کمپلکس پروتئینی از دو پروتئین اب گریز تشکیل شده که بطور فیزیکی تشکیل یک متند در غشای پلاسمایی می دهد. با این در اینجکتیزوم مدل، در تماس با میزبان به یک متند انتقال که در داخل غشای پلاسمایی سلول هدف قرار دارد، ختم می گردد (شکل ۱). مونتاژ این روزنه علاوه بر دو پروتئین اب گریز مذکور نیازمند پروتئین سوم آب دوست تیز می باشد. در مجموع به این پروتئین ها که ترانس لوکیتر نیز اطلاق می گردد، نیز جزء سویسترا های دستگاه ارسال می باشند و بعد از مونتاژ آن به بیرون سلول در محل غشای سلول میزبان برای تشکیل متند انتقال ترشح می شوند. معمولاً سه ترانس لوکیتر (YopD، YopB و LcrV) در *Yersinia spp* و *Shigella spp* در IpaD، IpaC و IpaB وجود دارد (۱۲).

مونتاژ دستگاه اینجکتیزوم

تشکیل کمپلکس سوپر ملکولی T3SS نیازمند پرهمکشش بسیار دقیق و تنظیم شده بین پروتئین های تشکیل دهنده آن می باشد (۱۳). ایجاد این کمپلکس نیازمند هماهنگ پروتئین های بیرون سلولی، متصل به غشاء، پری پلاسمی و سیتوپلازما می باشد. سر هم شدن (مونتاژ) همانند مونتاژ تازک منظم و به صورت سلسله مراتبی (مرحله به مرحله) می باشد (۲۵، ۱۷). مونتاژ اینجکتیزوم به صورت سلسله مراتبی صورت می گیرد و شامل سه مرحله عمده زیر می باشد: ۱- تشکیل جسمک قاعده ای که شامل حلقه های (حلقه های) غشاء بیرونی و داخلی می باشد. ۲- مونتاژ ساختار سوزن؛ ۳- ترشح و جایگزینی پروتئین های تشکیل دهنده ترانس لوکان در غشای سلول هدف.

کاربرد مطالعات حاصل از T3SS در بیوتکنولوژی

کشف تیپ ترشحی IV و امکان انتقال DNA بین سلله ای یوکاریوت- پروکاریوت موجب تحولی شگرف در ژنتیک ملکولی گردید و تاثیر گسترده ای در علم، توسعه تکنولوژی و کشاورزی داشته است. از این مतظر، سوالاتی مبتنی بر این که چهین آنالوگی را می توان از مطالعه اینجکتیزوم تیپ III بدست آورد مطرح می باشد. یکی از کاربرد های اینجکتیزوم تیپ III

(۱۰) از دیگر کاربردهای حاصل از مطالعه T3SS می‌توان به توسعه مواد شیمیایی سرکوب کننده پرازایی اشاره کرد. این مواد شیمیایی می‌توانند مسیرهای متعددی را مورد هدف قرار دهند شامل عمل انتقال افکتورها توسط T3SS. ترتیلیم بیان ژن‌های پرازایی و اختلال در برهه‌مکتش پروتئین-پروتئین به لحاظ نظری مواد سرکوب کننده پرازایی برخلاف مواد ضد باکتریایی متدائل که موجب مرگ باکتری می‌شوند قادر به خلخ سلاح کردن باکتری می‌باشد این عمل از فشار انتخابی در جهت توسعه مقاومت کاسته و همچنین از اثرات جانبی بر میکروفلور غیر هدف یا غیر بیماریزا می‌کاهد... از این جهت اجزاء خارج سلولی، اهداف بالقوه بجالب توجه هستند در سال های اخیر مطالعاتی در جهت شناسایی این نوع بازدارنده‌های طبیعی یا مصنوعی به عنوان جایگزینی برای آنتی بیوتیک‌ها انجام شده است (۹, ۱۰).

منابع

- (۱) صابری، آ.، صفایی، ن.، رحیمیان، ح. (۱۳۸۹). بررسی وضعیت تاکسونومیکی جدایه‌های اکسیداز متیت سودوموناس دخیل در پوسیدگی غلاف برنج در استان مازندران با استفاده از ۱۶S rRNA RFLP – فصلنامه بیماری‌های گیاهی. ۴۵ (۳).
- (2) Abby SS, Rocha EPC. The Non-Flagellar Type III Secretion System Evolved from the Bacterial Flagellum and Diversified into Host-Cell Adapted Systems. *PLoS Genet*, 2012;8(9):e1002983. doi: 10.1371/journal.pgen.1002983
- (3) Akeda Y, Galan JE. Chaperone release and unfolding of substrates in type III secretion. *Nature*, 2005; 437: 911–915
- (4) Alfano JR, Collmer A. The type III (Hrp) secretion pathway of plant pathogenic bacteria: trafficking harpins, Avr proteins, and death. *J. Bacteriol*, 1997; 179:5655–62
- (5) Bailey CM. 2012, A bioinformatics analysis of bacterial type-III secretion system genes and proteins. Ph.D. thesis, University of Birmingham.
- (6) Blocker A, Jouihri N, Larquet E, Gounon P, Ebel F, Parsot C, Sansouletti P, Allaoui A. Structure and composition of the *Shigella flexneri* 'needle complex', a part of its type III secretome. *Molecular Microbiology*, 2001; 663–652 :39.
- (7) Bretz, J R, Hutcheson SW. Role of type III effector secretion during bacterial pathogenesis in another kingdom. *Infect. Immun*, 2004; 72: 3697-3705.
- (8) Bürner D, He SY. Type III secretion in plant pathogenic bacteria. *Plant Physiol*, 2009; 150:1656-1664.
- (9) Clatworthy AE, Pierson E, Hung DT. Targeting virulence: a new paradigm for antimicrobial therapy. *Nat. Chem. Biol*, 2007; 3:541–48

- (10) Coburn B, Sekirov I, Finlay BB. Type III secretion systems and disease. *Clin. Microbiol. Rev.*, 2007; 20:535–491
- (11) Cordes FS, Komoriya K, Larquet E, Yang S, Egelman EH, Blocker A, Lea SM. Helical structure of the needle of the type III secretion system of *Shigella flexneri*. *J. Biol. Chem.*, 2003; 278: 17103–17107.
- (12) Cornelis GR. The type III secretion injectisome. *Nat. Rev. Microbiol.*, 2006; 4: 811–825.
- (13) Crabbill E. 2012, the *Pseudomonas syringae* type III secretion system: the translocator proteins, their secretion, and the restriction of translocation by the immune system. Ph.D. thesis, University of Nebraska – Lincoln.
- (14) Deane JE, Roversi P, Cordes FS, Johnson S, Kenjale R, Daniell S, Booy F, Picking W D, Picking WL, Blocker AJ, Susan ML. Molecular model of a type III secretion system needle: implications for host-cell sensing. *Proceedings of the National Academy of Sciences, USA*, 2006; 103: 3640–50.
- (15) Erhardt M, Namba K, Hughes KT. Bacterial nanomachines: the flagellum and type III injectisome. *Cold Spring Harb Perspect Biol.*, 2010; 2: a000299.
- (16) Fadouloglou VE, Tampakaki AP, Glykos NM, Bastaki MN, Hadden JM, Phillips SE, Panopoulos NJ, Kokkinidis M. Structure of HrcQB-C, a conserved component of the bacterial type III secretion systems. *Proceedings of the National Academy of Sciences, USA*, 2004; 101: 70–75.
- (17) Galán JE, Wolf-Watz H. Protein delivery into eukaryotic cells by type III secretion machines. *Nature*, 2006; 444: 567–573.
- (18) Genin S, Boucher C. Lessons learned from the genome analysis of *Ralstonia solanacearum*. *Annu. Rev. Phytopathol.*, 2004; 42:107–34
- (19) Gou M, Tiang F, Wamboldt Y, Alfano JR. The majority of the type III effector inventory of *Pseudomonas syringae* pv. *tomato* DC3000 can suppress plant immunity. *Mol Plant Microbe Interact.*, 2009; 22:1069–1080.
- (20) He SY. Hrp-controlled interkingdom protein transport: learning from flagellar assembly?. *TIM*, 1997; 5: 489–95.
- (21) Henderson I.R., Navarro-Garcia F., Desvaux M., Fernandez R.C and Ala'Aldeen D. Type V protein secretion pathway: the autotransporter story. *Microbiol Mol Biol R.*, 2004; 68: 692–744.
- (22) Hinsa SM, Espinosa-Urgel M, Ramos JL, O'Toole GA. Transition from reversible to irreversible attachment during biofilm formation by *Pseudomonas fluorescens* WCS365 requires an ABC transporter and a large secreted protein. *Mol Microbiol*, 2003; 49: 905–18.
- (23) Hosseinzadeh S., shams Bakhsh M. Bacterial Flagella; Morphology, Assembly and Torque-Generating. *New Cellular and Molecular Biotechnology Journal*, 2013; 3(9): 18–9. (full text in Persian)
- (24) Hueck CJ. Type III protein secretion systems in bacterial pathogens of animals and plants. *Microbiol Mol Biol R.*, 1998; 62:379–433.
- (25) Izore' TJV, Dessen A. Biogenesis, regulation, and targeting of the type III secretion system. *Structure*, 2011; 19: 603–612.
- (26) Jin, Q, Thilmouy, R, Zwiesler-Vollrick, J, He, SY. Type III protein secretion in *Pseudomonas syringae*. *Microbes Infect*, 2003; 5: 301–310
- (27) Lee VT, Kessler JL. Type III secretion systems as targets for novel therapeutics. *IDrugs*, 2009;12:636–41
- (28) Lindeberg, M, Cumsac, S, Collmer, A. *Pseudomonas syringae* type III effector repertoires: last words in endless arguments. *Trends Microbiol*, 2012; 20: 199–208
- (29) Marlovits T.C., Kubori T., Lara-Tejero M., Thomas D. and Unger VM. Galán JE. Assembly of the inner rod determines needle length in the type III secretion injectisome. *Nature*, 2006; 441:637–640.
- (30) Michiels T, Wattiau P, Brasseur R, Ruysschaert JM, Cornelis G. Secretion of Yop proteins by *Yersinia*. *Infect Immun*, 1990; 58: 2840–9.
- (31) Moraes TF, Spreter T, Strynadka NC. Piecing together the type III injectisome of bacterial pathogens. *Curr Opin Struc Biol*, 2008; 18: 258–266.
- (32) Muller SA, Pozidis C, Stone R, Meesters C, Chami M, Engel A, Economou A, Stahlberg H. Double hexameric ring assembly of the type III protein translocase ATPase HrcN. *Mol Microbiol*, 2006; 61:119–125.
- (33) Ren H, Song T, Wu T, Sun L, Liu Y. Effects of a biocontrol bacterium on growth and defense of transgenic rice plants expressing a bacterial type-III effector. *Ann. Microbiol*, 2006; 56:281–87.

- (34) Saberi E, Safaei N. Assessment of Genetic Diversity among Strains of *Pseudomonas syringae* Associated with Bacterial Sheath Rot in Iran (Mazandaran province) Using ITS – RFLP Analysis. *Intl J Agron Plant Prod*, 2013; 4 (5): 1040-1047.
- (35) Saberi E, Safaei N, Rahimian H. Characterization of bacterial strains associated with sheath rot complex and grain discoloration of rice in North of Iran (Mazandaran province). *J. Bacteriol. Res*, 2013; 5(5): 51-61.
- (36) Sekiya K, Ohishi M, Ogino T, Tamano K, Sasakawa C, Abe, A. Supermolecular structure of the enteropathogenic *Escherichia coli* type III secretion system and its direct interaction with the EspA-sheath-like structure *Proceedings of the National Academy of Sciences of the United States*, 2001; 98: 11638-11643
- (37) Strobel RN, Gopalan JS, Kuc JA, He SY. Induction of systemic acquired resistance in cucumber by *Pseudomonas syringae* pv. *syringae* 61 HrpZPss protein. *Plant J*, 1996; 9:431-39.
- (38) Tampakaki AP, Skandalis N, Gazi AD, Bastaki MN, Sarris PE, Charova SN, Kokkinidis M, Panopoulos NJ . Playing the "Harp": Evolution of Our Understanding of hrp/hrc Genes, *Annu Rev Phytopathol*, 2010; 48: 347-370
- (39) Worrall L.J., Lameignere E. and Strynadka N.C. Structural overview of the bacterial injectisome. *Curr Opin Microbiol*, 2011; 14(1): 3-8.
- (40) Yip CK, Strynadka NC. New structural insights into the bacterial type III secretion system. *Trends Biochem. Sci*, 2006; 31: 223-230.
- (41) Zaccardelli M, Campanile F, Spasiano A, Merighi M. Detection and identification of the crucifer pathogen, *Xanthomonas campestris* pv. *campestris*, by PCR amplification of the conserved Hrp/type III secretion system gene *hrcC*. *Eur. J. Plant Pathol*, 2007; 118:299-306